IL CIELO COME LABORATORIO

A.S.2011/12



SECONDO STAGE

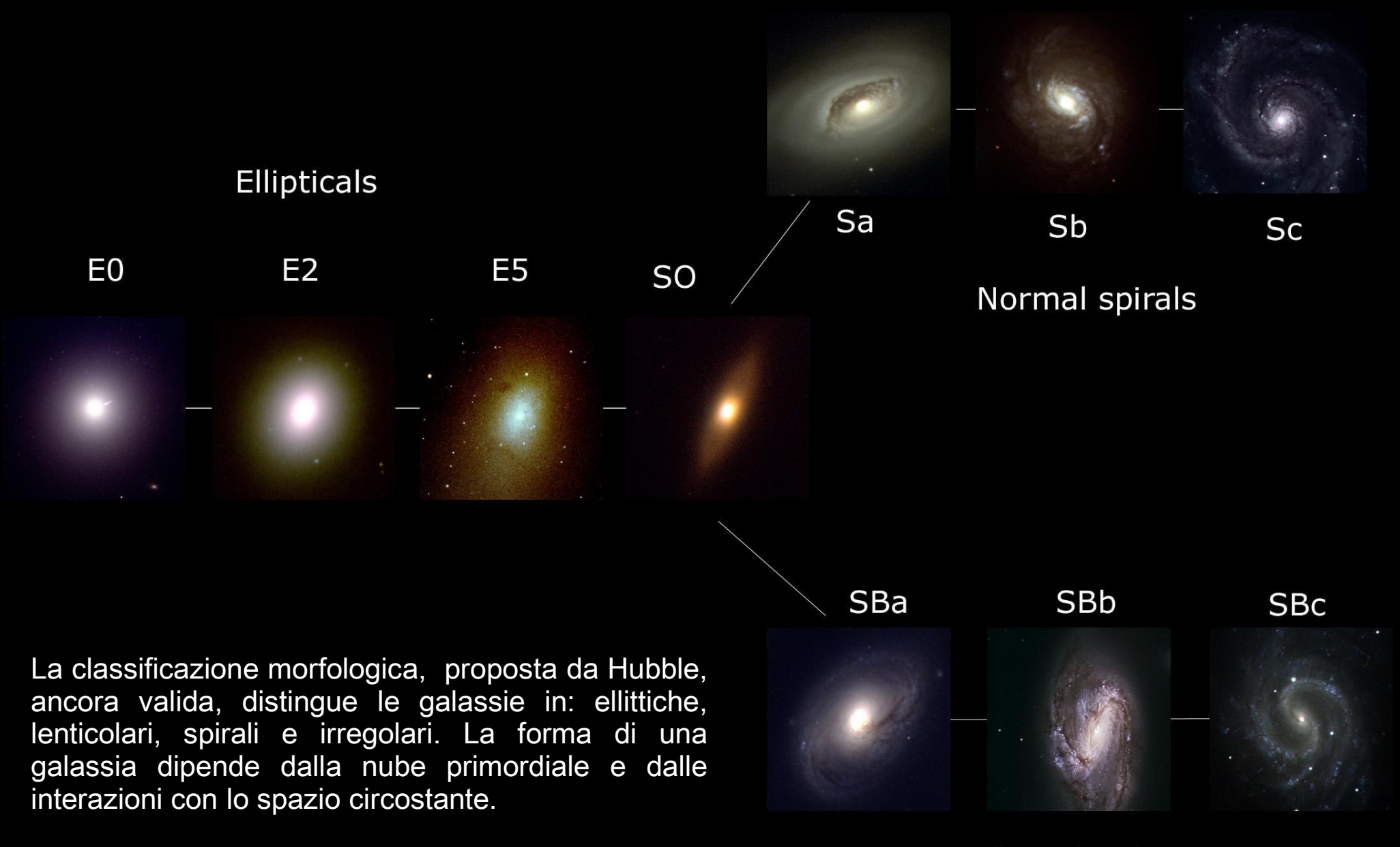
Riccardo Caneve¹, Francesca Del Favero², Rebecca Valcozzena³, Lorenzo Zandonella²

¹Liceo *Galilei*, sez. scientifico, Belluno ²Llceo *E.Fermi*, sez. scientifico, Pieve di Cadore ³Liceo *Follador*, sez. scientifico, Agordo



DISPERSIONE DI VELOCITA' E MASSA NELLA GALASSIA NGC 2768

Classificazione morfologica delle galassie



Barred spirals

GALASSIE ELLITTICHE

Queste galassie hanno aspetto circolare o ellittico. In esse è poco evidente la presenza di gas e polveri e sono composte da stelle vecchie. Il loro spettro è caratterizzato da righe in assorbimento di elementi pesanti.

GALASSIE LENTICOLARI

Sono composte da bulge e disco questo però è privo di bracci a spirale. Il bulge è massiccio ed ha dimensioni comparabili con quelle del disco.

GALASSIE A SPIRALE

Contraddistinte da un rigonfiamento centrale detto bulge e da un disco schiacciato su cui sono presenti i bracci. Nel bulge predominano stelle di popolazione Il mentre nel disco quelle di popolazione I.

NGC 5457



GALASSIE IRREGOLARI

Queste galassie sono prive di una morfologia definita.

Si dividono a loro volta in due sottoclassi, le Irr I e le Irr II.

Sono molto ricche di gas e polveri e contengono molte stelle giovani.

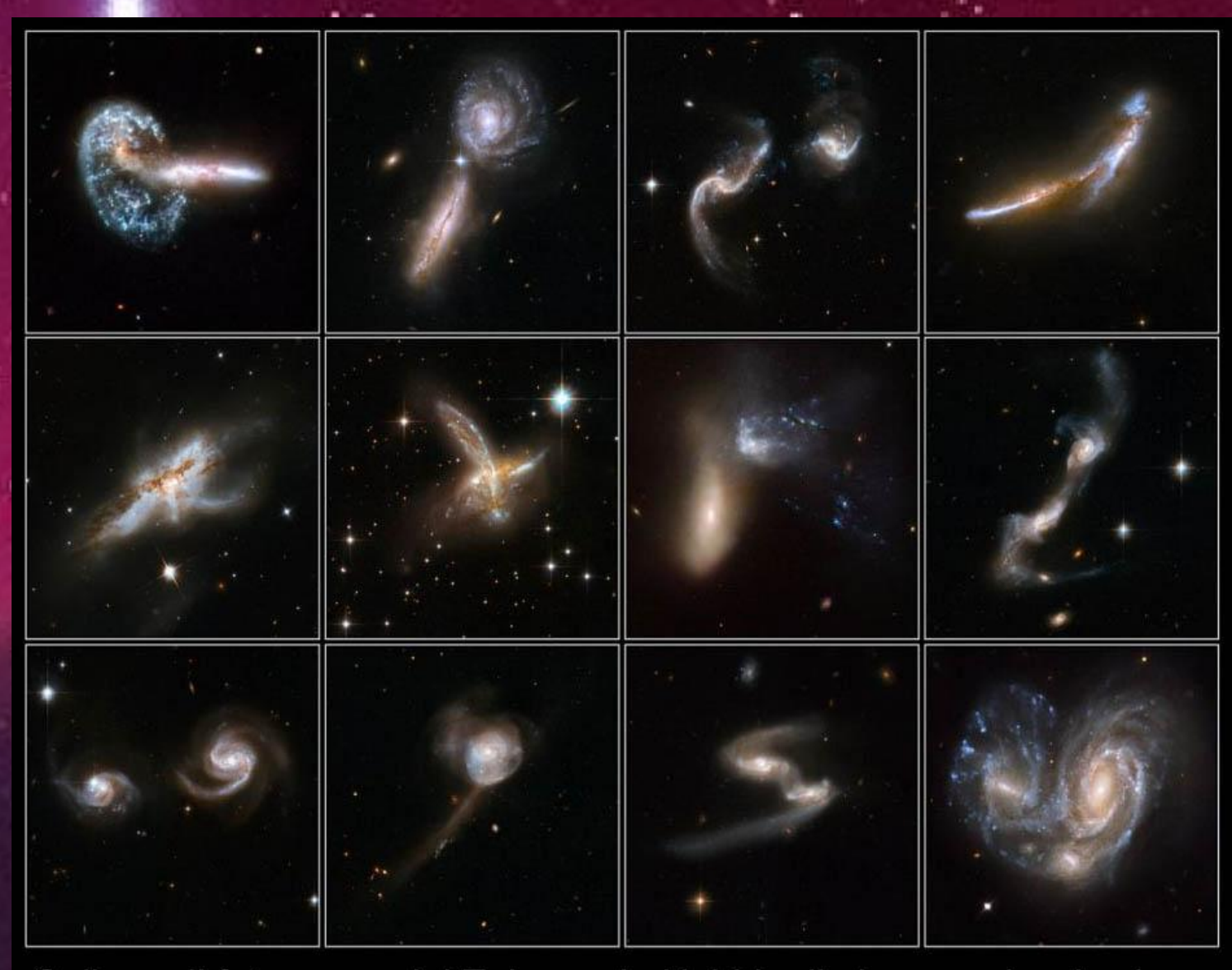


GALASSIE INTERAGENTI

Le Galassie interagenti sono due o più galassie influenzate dalla reciproca forza di gravità

Un esempio di interazione minore è quello dato da una galassia che disturba uno dei bracci principali di un'altra galassia.

un esempio di interazione maggiore è invece dato dalle galassie in collisione.

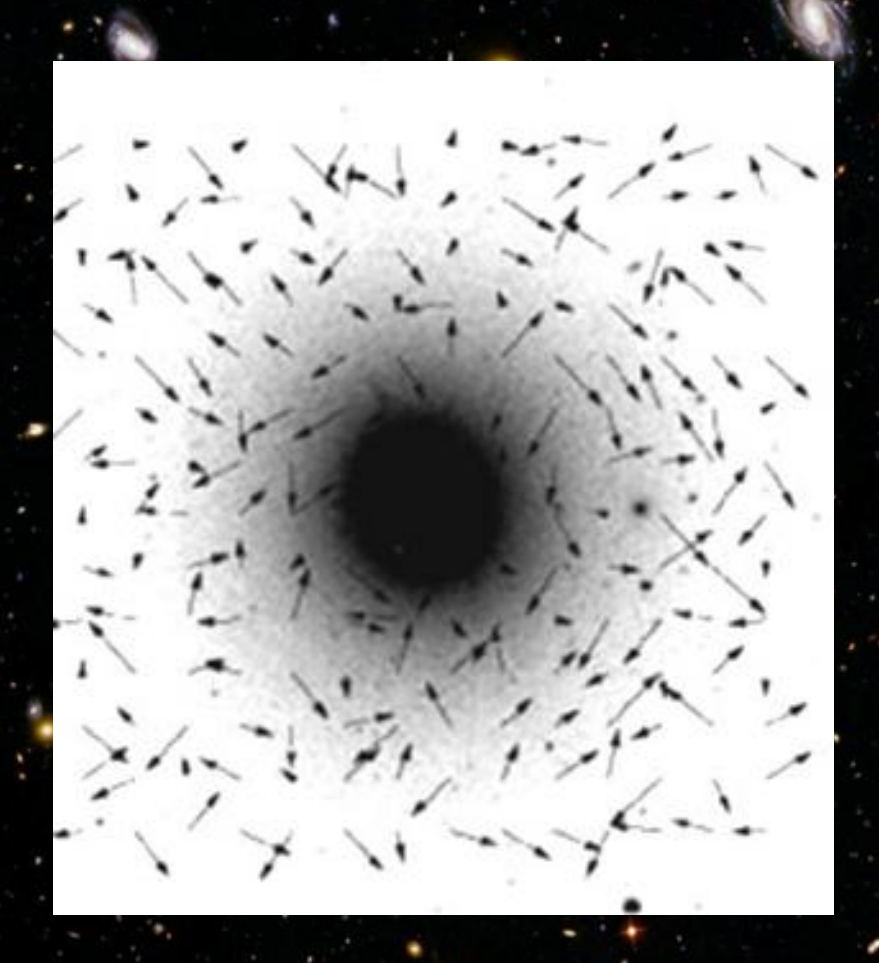


Collage di foto prese dal Telescopio Hubble di alcune galassie che stanno intergagendo tra loro

Cinematica della galassia

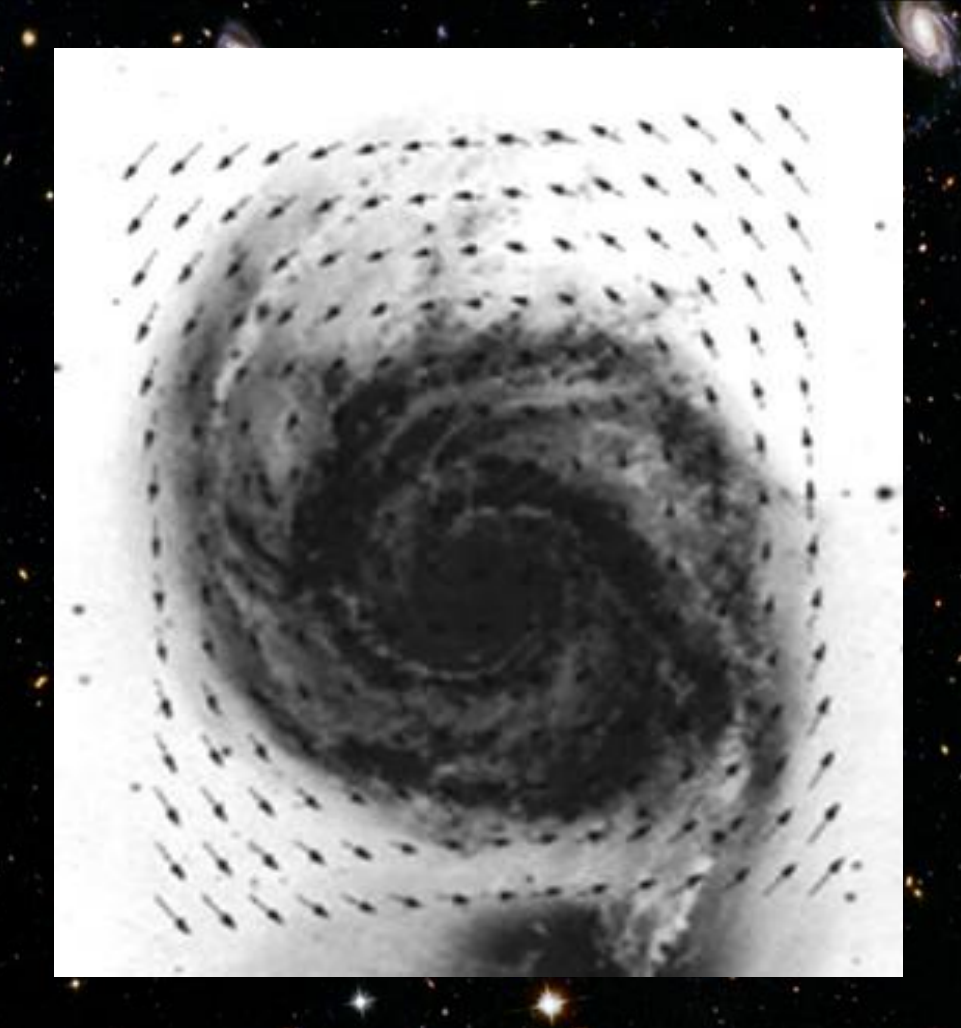
Due sono le grandezze con cui si analizza la cinematica di una galassia: la dispersione di velocità, che rappresenta la quantità che misura i moti disordinati delle stelle e la velocità di rotazione.

Le galassie ellittiche sono sistemi in cui sembrano predominare i moti disordinati, nelle galassie a spirale al contrario, predominano i moti ordinati di rotazione.



Nelle galassie ellittiche le stelle sono distribuite su orbite di forme ed inclinazioni diverse, da cui ne scaturisce una distribuzione caotica dei moti.

E' l'elevata dispersione di velocità ad opporsi al collasso gravitazionale e a conferire la tipica forma alla galassia.





Nelle galassie a spirale o disco dominano i moti ordinati di rotazione intorno ad un asse perpendicolare al disco su cui la maggior parte delle stelle è distribuita.

La significativa velocità di rotazione si oppone al collasso e contribuisce alla formazione dei caratteristici bracci



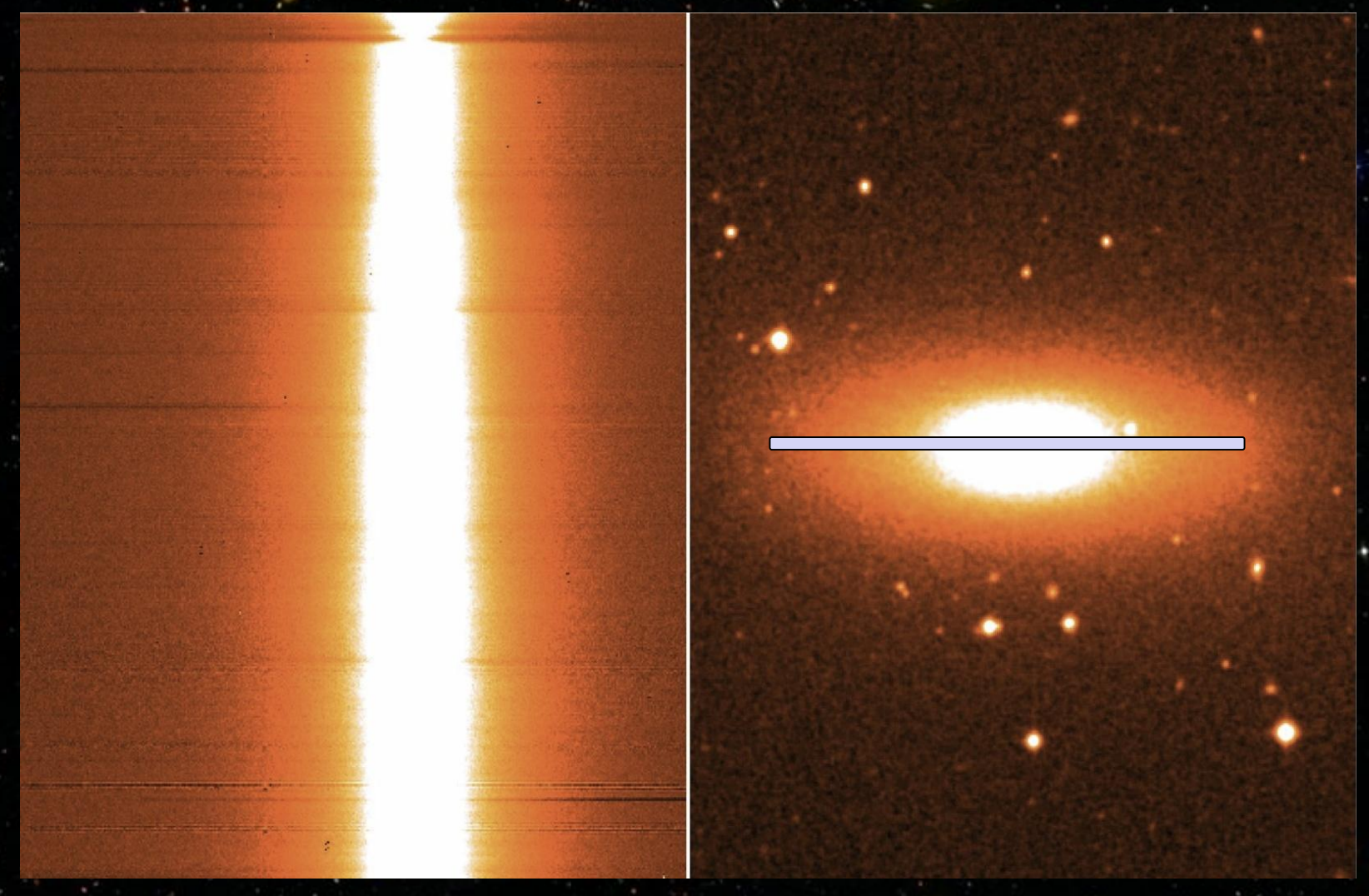
NGC 2768



La galassia è situata nella costellazione dell'Orsa Maggiore

| RA(J2000) | 09h 11m 37.40sec |
|------------|----------------------|
| Dec(J2000) | +60° 02′ 14.0′′ |
| Class | E/S0 |
| Slze | 6.3′ x 2.8′/ PA: 95° |
| Magnitude | 10.1 |

Spettro lungo l'asse maggiore



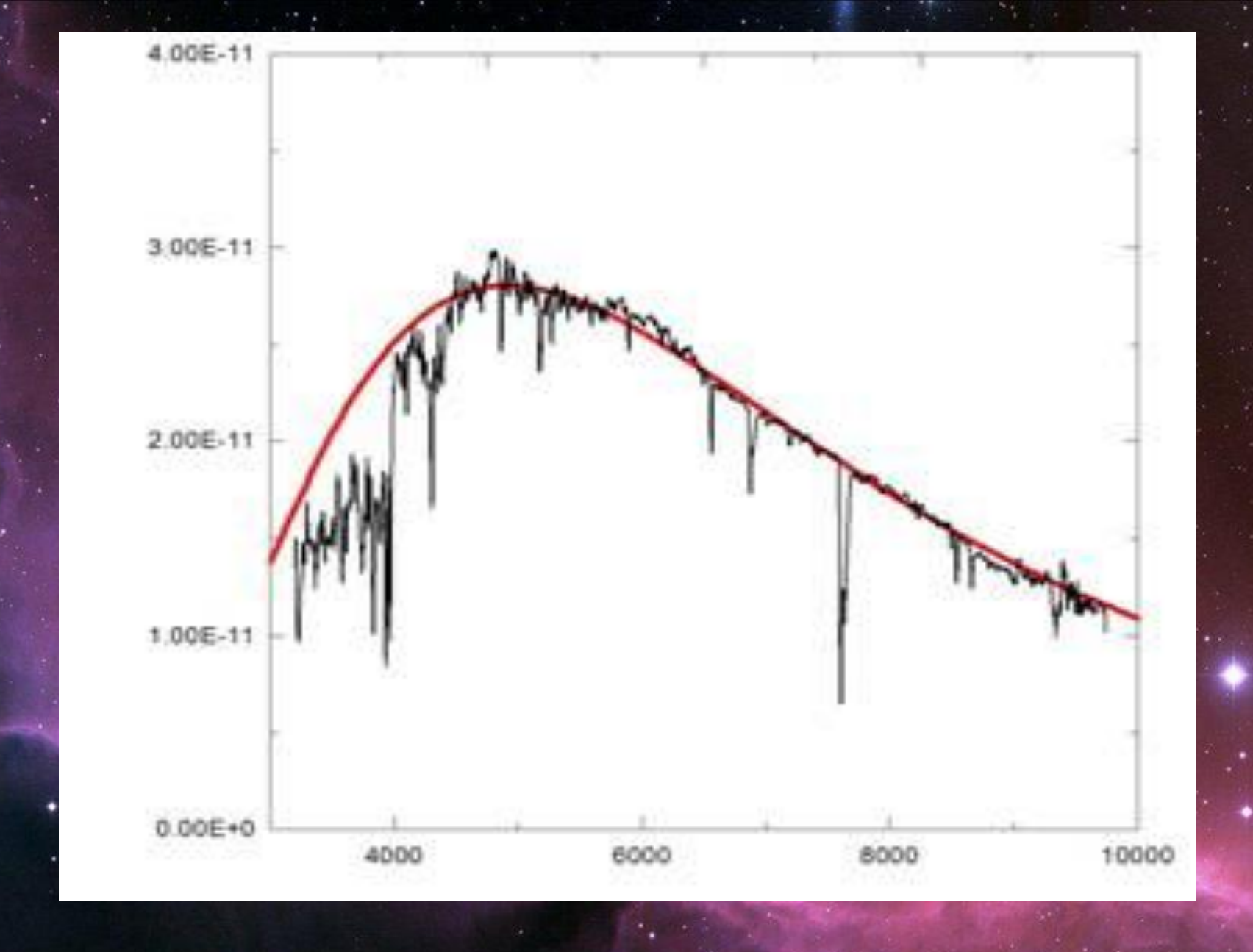
L'intervallo di lunghezza d'onda è fra 5300-7800 Å .

La fenditura, posta lungo l'asse maggiore, è larga 1.26 secondi d'arco e il tempo di posa di 3600 secondi. Sono state fatte due pose da 1800 secondi. La risoluzione spettrale ´e 13 Å .

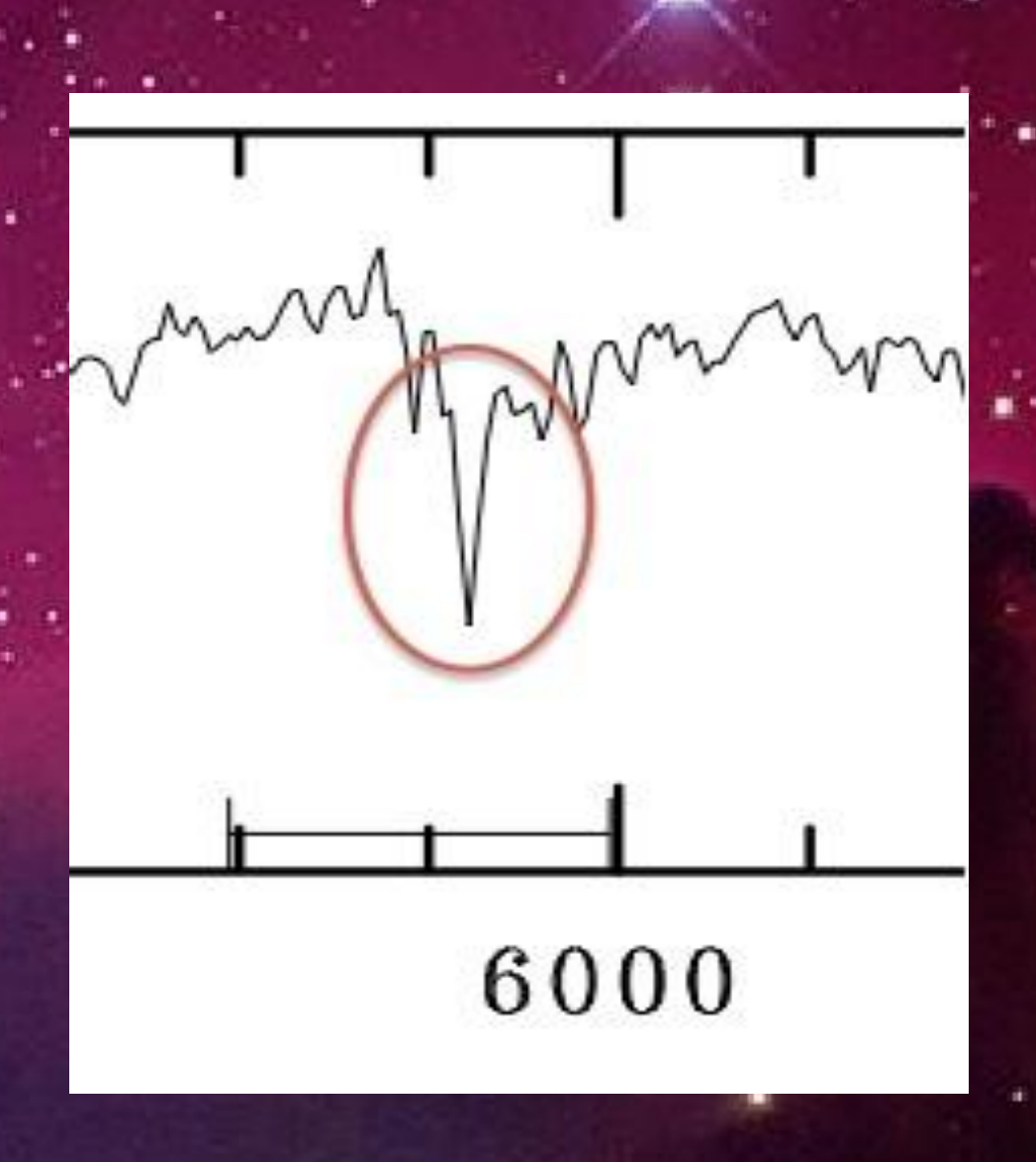
HD 78821



| RA(J2000) | 09h 12m 36sec |
|---------------|---------------|
| Dec(J2000) | +56 ° 18′ 06″ |
| Spectral Type | K |
| Magnitude | 8.311 |



Questo tipo di stelle dette "fredde"sono di colore rosso-arancio. La loro temperatura è compresa fra 5.000° e 3.500° K,perciò lo spettro è fitto di righe dovute prevalentemente a metalli. Le righe dell'idrogeno sono assai deboli.



In particolare abbiamo analizzato il range di frequenze in assorbimento attorno a λ=5892 Å del Nal..

Procedura

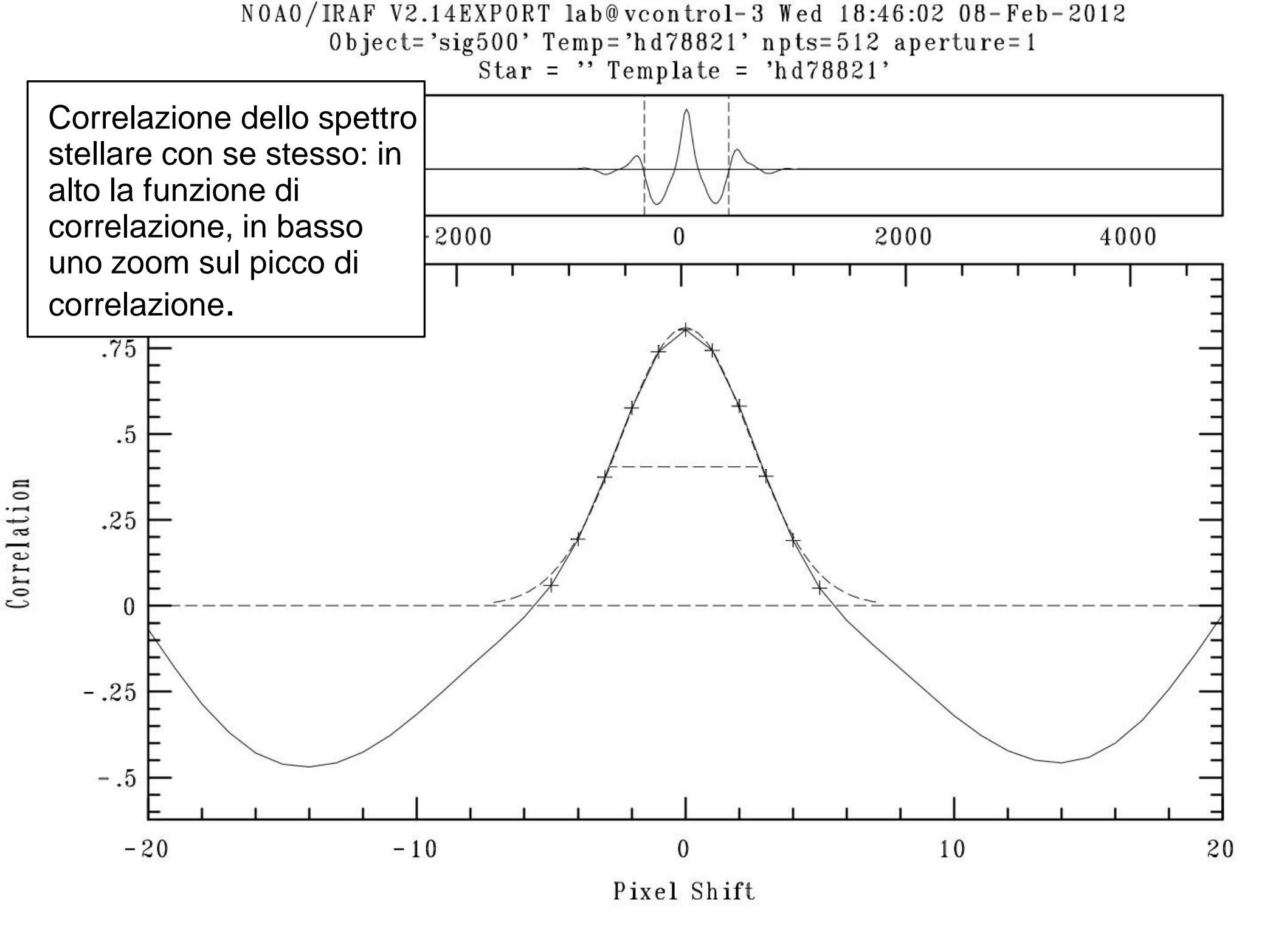
Relazione FWHM- σ Curva di rotazione della galassia
Raggio efficace
Analisi del profilo di brillanza
Calcolo della massa

Relazione FWHM-σ

Il nostro obiettivo è quello di trovare una relazione tra FWHM e σ.

Correliamo lo spettro della stella con se stessa, ma facciamo si che IRAF adatti la gaussiana, ovvero il profilo di velocità ricavato sperimentalmente, a delle gaussiane note, di cui aumentiamo l'ampiezza con passo di 50km/s.

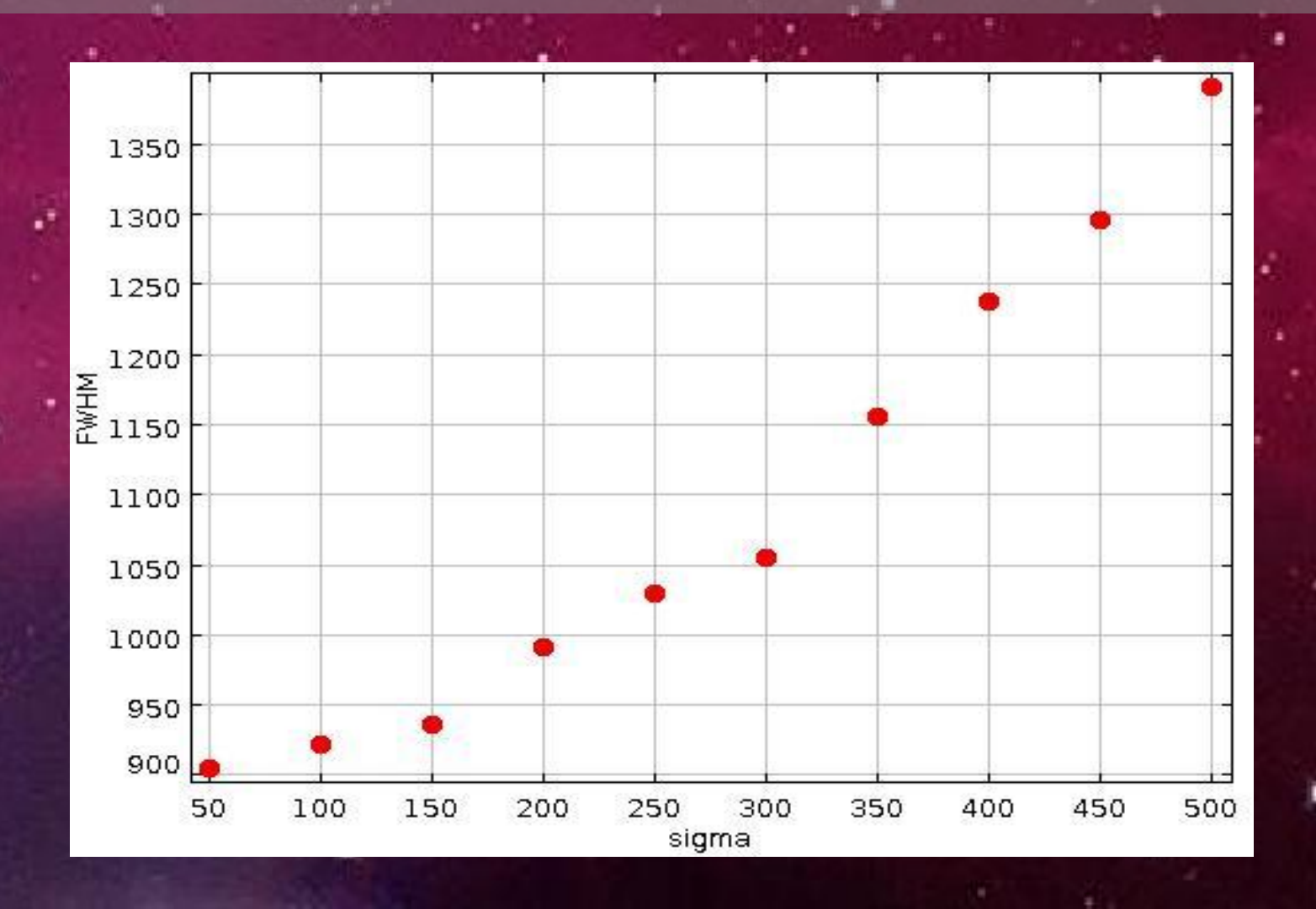
Otteniamo , così, per ogni σ il valore della FWHM.



FWHM e sigma della stella

Con i valori da noi assegnati a σ e con quelli della FWHM ottenuti con IRAF, costruiamo un grafico.

Questo indica che ad un maggior "broadening" dello spettro corrisponde una più vasta gamma di velocità.

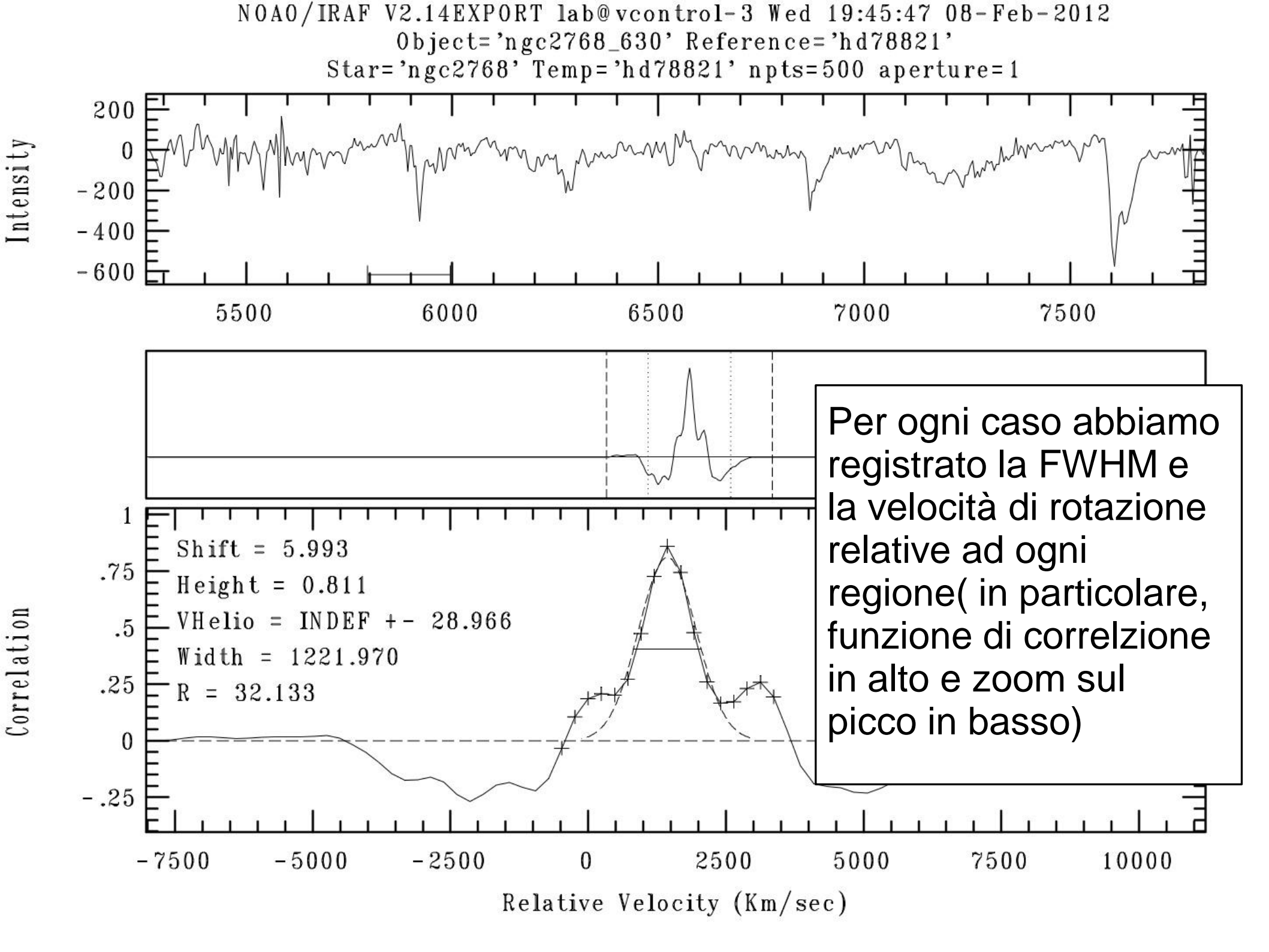


Correlazione della galassia con la stella per intervalli di 7px

Abbiamo suddiviso lo spettro della galassia in regioni da 7px.

Servendoci del grafico di "calibrazione" da ciascuna FWHM ricaviamo il relativo σ.

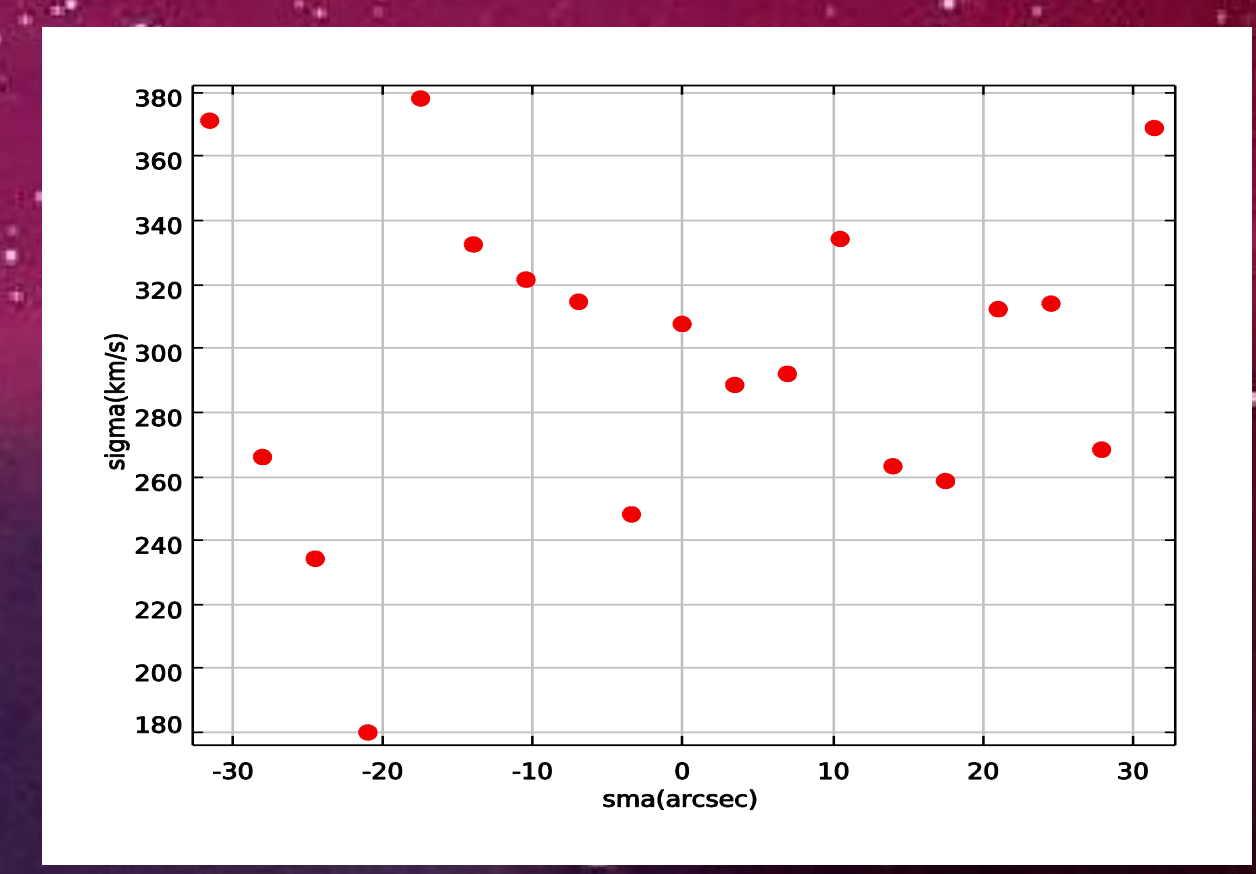
Con questo costruiamo un grafico che mette in relazione σ e la distanza dal centro.

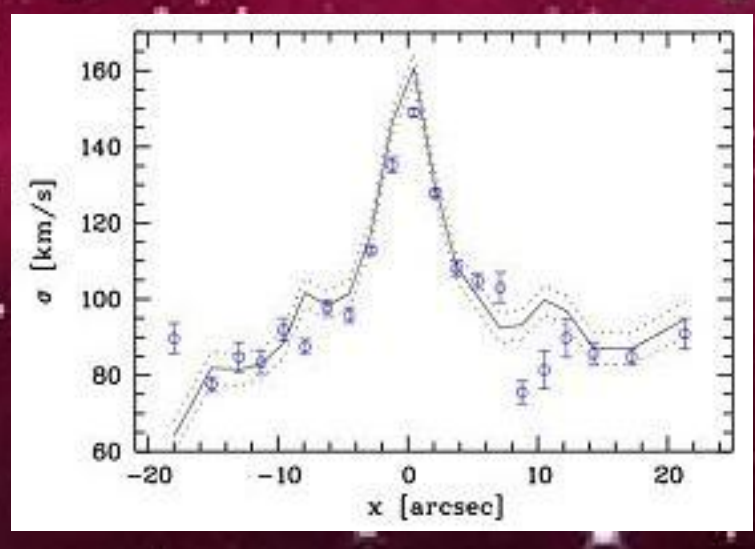


Posizione-sigma

Questo grafico descrive la dispersione di velocità al progressivo aumentare del raggio: la distribuzione risulta casuale poiché non vi è simmetria alcuna a destra ed a sinistra del centro.

Questa asimmetria indica che la varietà dei moti all'interno della galassia non si distribuisce come ci aspetteremmo.





Dipersione di velocità in NGC3377

Curva di rotazione della galassia

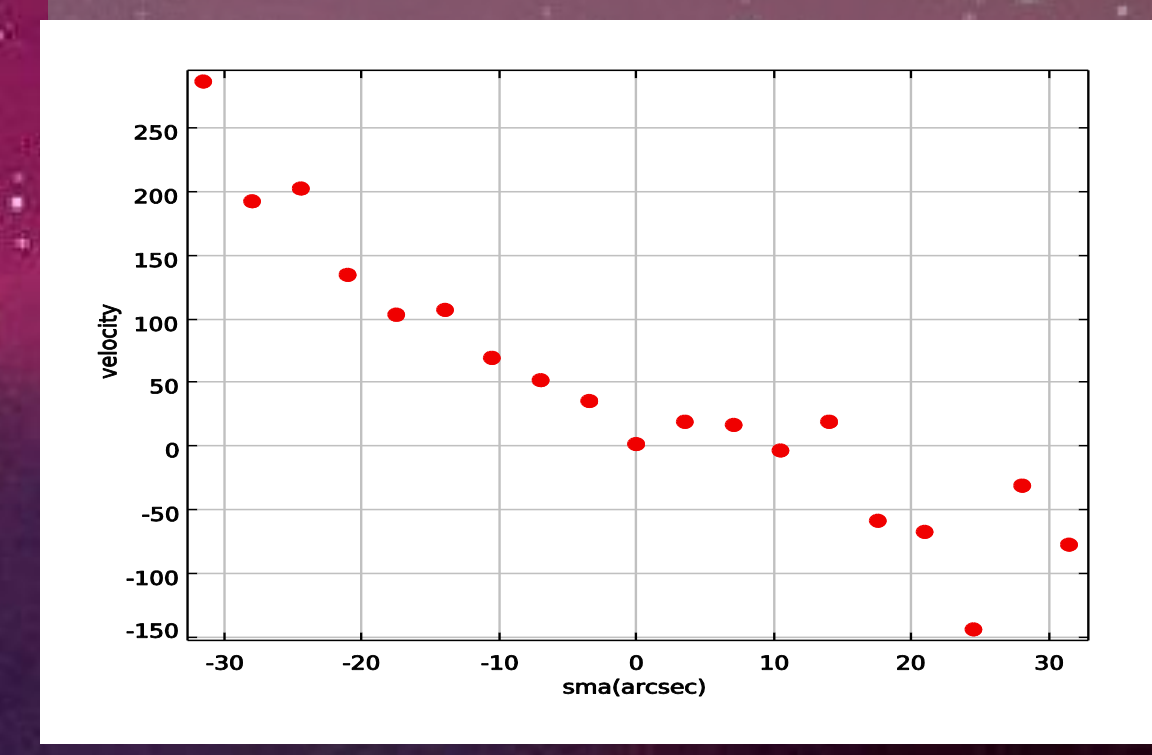
Abbiamo convertito le distanze dal centro da pixel in arcsec:

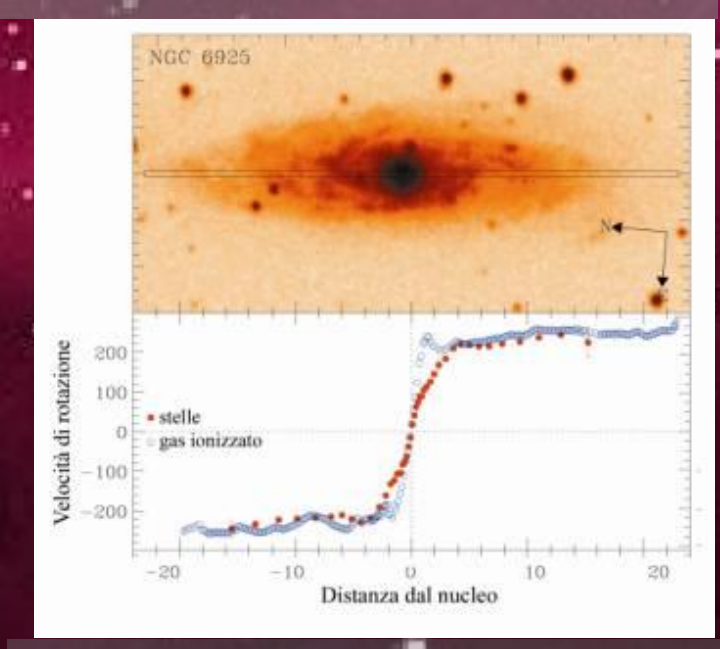
$$R(r'') = R(px) \times (scala)$$

Costruiamo un grafico che rappresenta la velocità di rotazione della galassia in funzione della distanza dal centro.

Curva di rotazione

La curva di rotazione descrive la velocità con cui , rispettivamente, ogni fascia della galassia si allontana da noi e, quindi, per estensione, sottraendo la velocità della fascia centrale, questa curva ci descrive come la galassia ruoti. In galassie ellittiche ci aspetteremmo velocità molto più basse, rasenti quasi lo zero: qui, invece, la velocità arriva fino a picchi di 250 km/s.





Curva di rotazione della galassia NGC6925, una spirale.

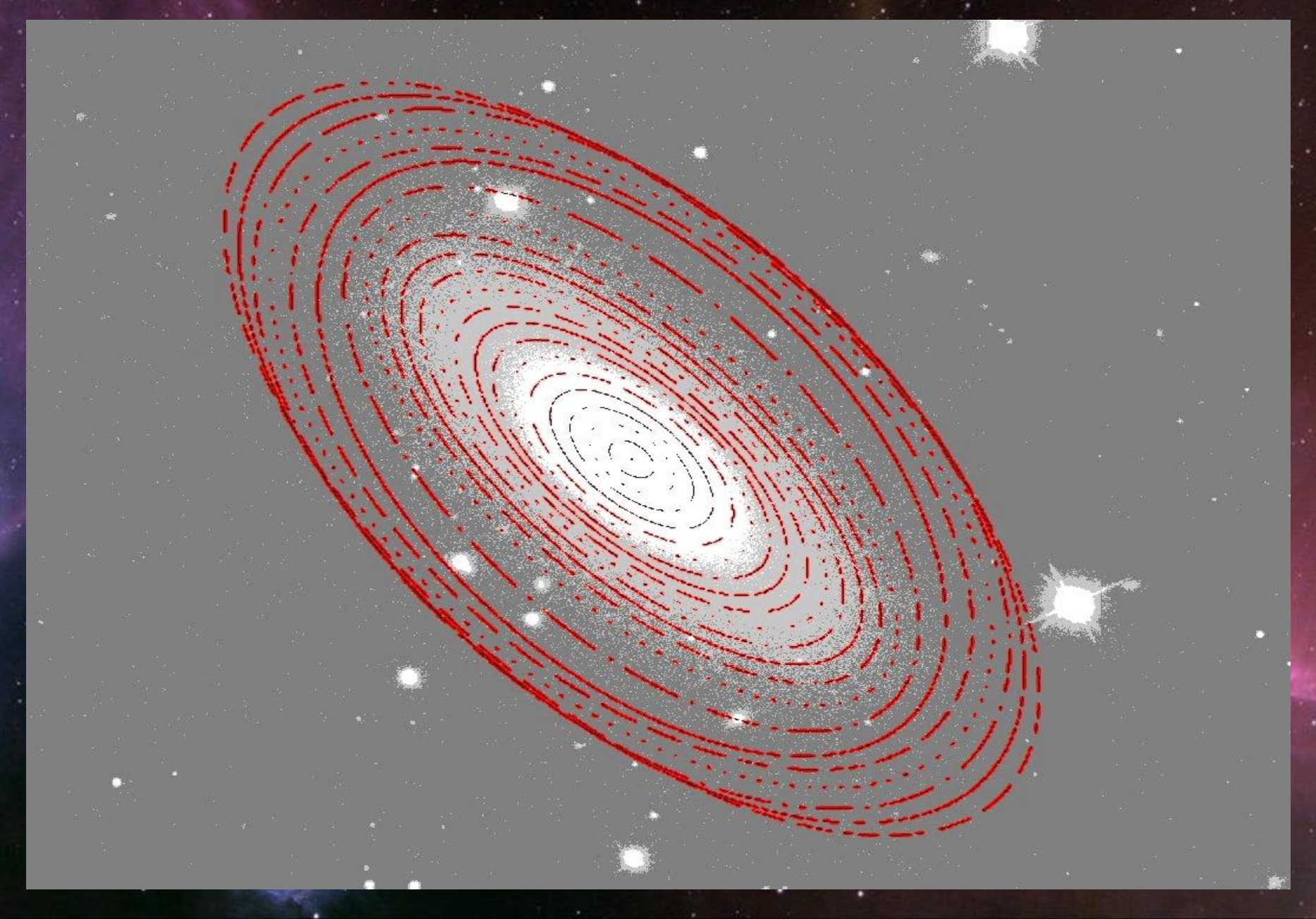
Raggio efficace

Per calcolare la massa della galassia è necessario conoscerne il raggio efficace(r_e), ovvero il raggio entro cui è contenuta la metà della luminosità della galassia.

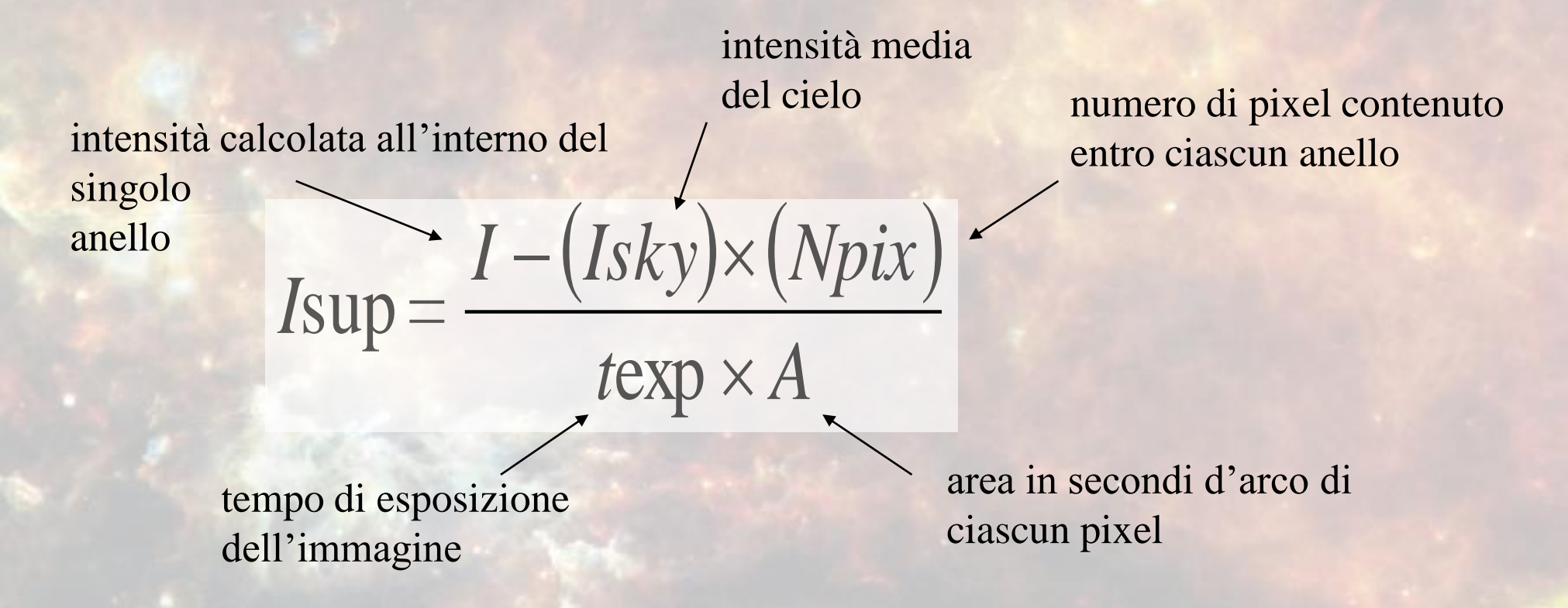
Per dedurre questo parametro dalle nostre osservazioni, studiamo il profilo di brillanza della galassia, analizzandola con il metodo fotometrico.

Per perseguire tale scopo utilizziamo il task di IRAF ellipse, il quale calcola le isofote della galassia, approssimate da ellissi. Le isofote sono linee che collegano punti di uguale luminosità. Con queste costruiamo il profilo di brillanza.

Abbiamo racchiuso la galassia con un'ellisse che ne approssimi bene la forma, determinando con più precisione possibile, le coordinate del centro. Quindi, il task estrapola i parametri geometrici(sma, e, Pa, etc) e il flusso all'interno di ogni ellisse; ricava inoltre il sma medio e l'intensità media per ogni ellisse.



L'intensità relativa ad ogni singolo anello si ottiene sottraendo al flusso di ciascuna ellisse n-esima quello dell'ellisse (n-1)-esima. Tali valori vanno però modificati, tenendo conto dell'intensità media del cielo e del tempo di esposizione, con la seguente formula:

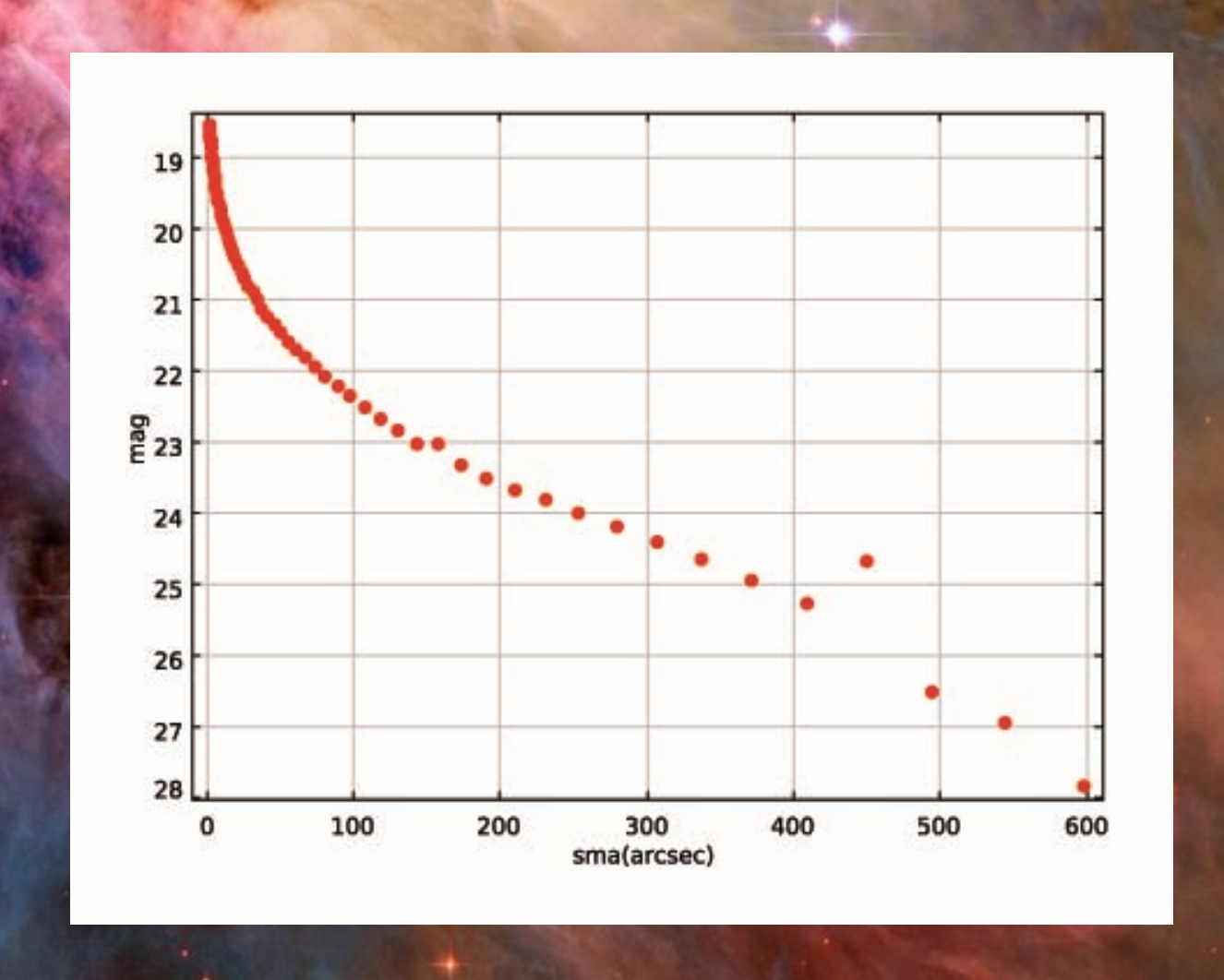


Attraverso la formula di Pogson si ottiene la brillanza superficiale per ogni isofota.

$$\mu_e = -2.5 \log_{10}(I_{\text{sup}})$$

Profilo di brillanza

Il profilo di brillanza descrive l'andamento della magnitudine strumentale in funzione della distanza dal centro.



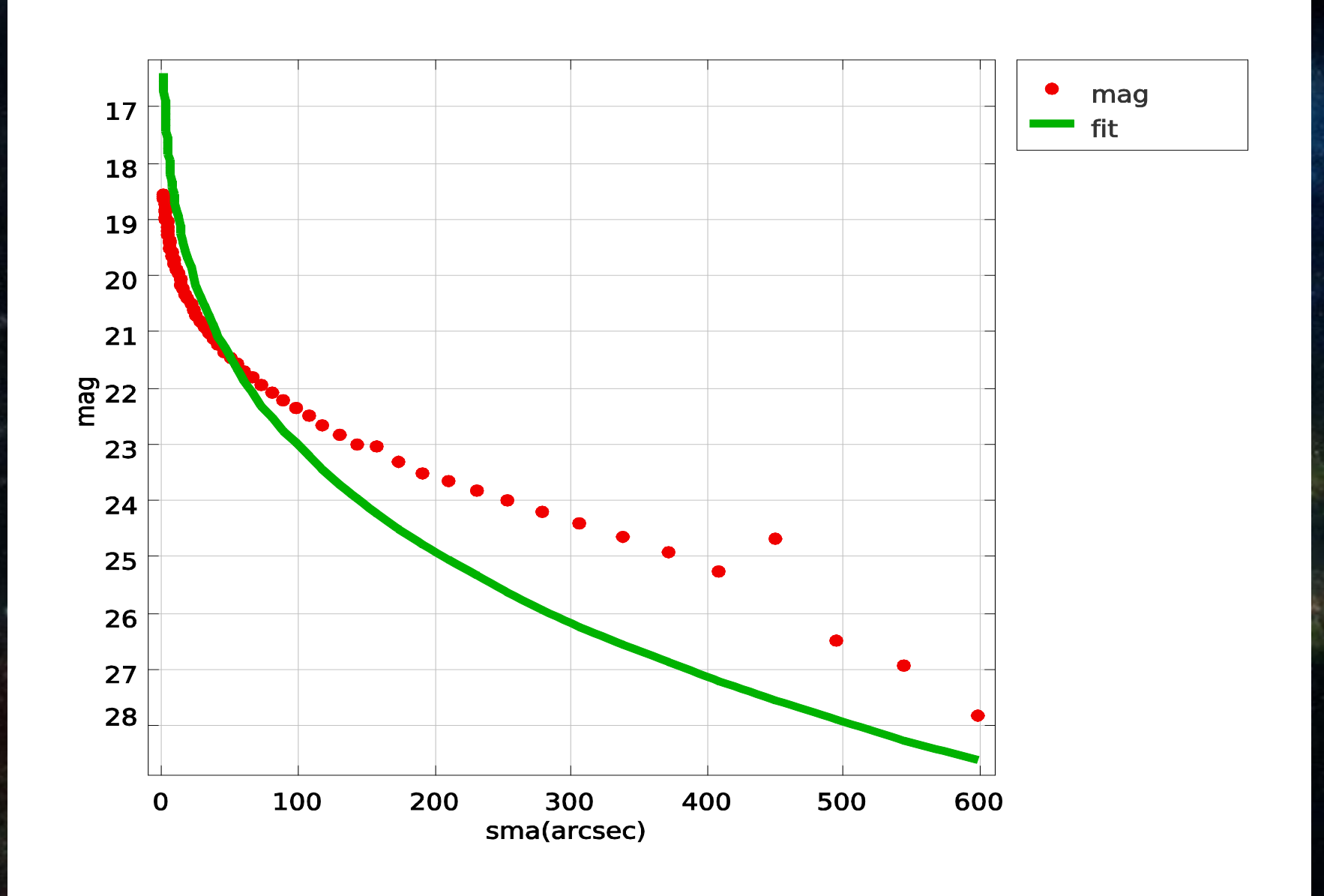
Analisi del profilo di brillanza

Poiché il profilo di brillanza della galassia dipende dal suo raggio efficace.

Poiché il nostro profilo è stato ricavato sperimentalmente, cerchiamo, per un confronto, la migliore approssimazione con note leggi empiriche.

Abbiamo applicato la seguente legge di De Vaucouleurs:

$$\mu_{bulge} = \mu_e + 8.325 \left[\left(\frac{r}{r_e} \right)^{\frac{1}{4}} - 1 \right]$$



Il fit, però non è soddisfacente; descrive abbastanza bene solo la regione del bulge.

Abbiamo quindi considerato un fit con le due leggi sperimentali:

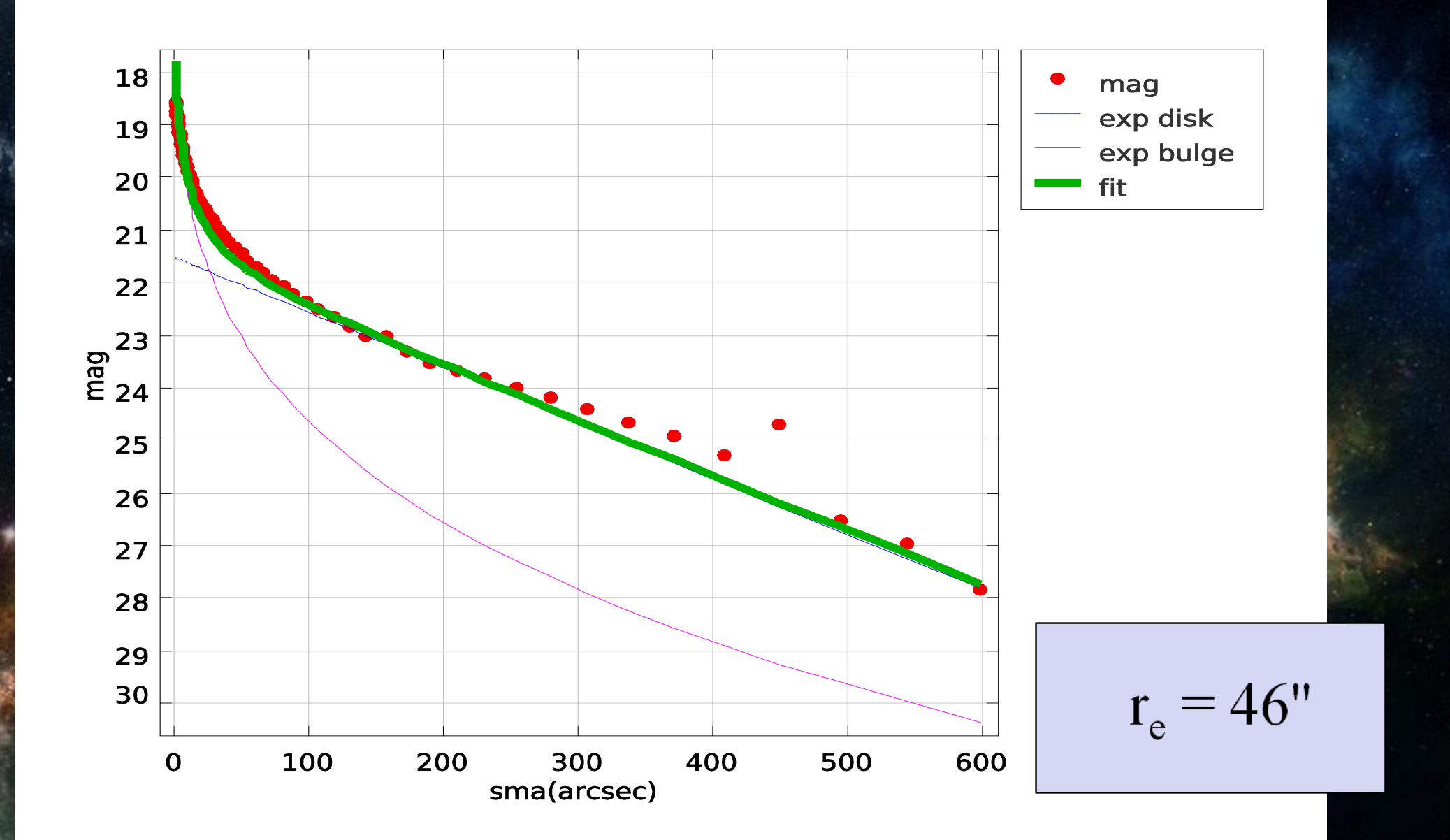
PER IL BULGE

$$I_{bulge} = I_e \exp\left\{-7.67 \left(\frac{r}{r_e}\right)^{\frac{1}{4}} - 1\right\}$$

PER IL DISCO

$$I_{disk} = I_0 \exp\left\{-\left(\frac{r}{h}\right)\right\}$$





Utilizzando queste due componenti otteniamo una miglior curva sperimentale.

Calcolo della massa della galassia

Poichè il raggio efficace è maggiore della distanza massima dal centro considerata per il lavoro (31.5'')

E considerato che non è possibile ricavare il σ dalla distribuzione sperimantale, abbiamo utilizzato il σ della fascia centrale.

$$M = \frac{r_e \times \sigma^2}{0.33G}$$

$$M = 5.2667 \cdot 10^{41} \text{ kg}$$

Ovvero 2.63•10¹¹ M_©

Per un'ulteriore conferma abbiamo ricavato la massa della galassia partendo dal teorema del Viriale, utilizzando la seguente formula:

Dove R (31,5 arcsec)
è il raggio massimo
ricavato
dalla curva di
rotazione e v (200km/
s) la corrispondente
velocità.

$$M = \frac{R \times v^2}{G}$$

 $M = 5.06 \cdot 10^{40} \text{ kg}$

Ovvero 2.53•10¹⁰ M_O

Considerando i valori approssimati di σ e r_e presi in esame, riteniamo complessivamente accettabile la differenza di un ordine di grandezza tra i due risultati.

RESULTS

Durante l'analisi della galassia NGC2768 sono emersi alcuni risultati discordanti rispetto alle nostre aspettative.

Dalla curva di rotazione si evince che la galassia ruota con velocità superiori a quelle normalmente riscontrate in galassie ellittiche simili, mostrando un comportamento più simile a quello di galassie barrate o spirali.

Il profilo di brillanza ottenuto non è proprio di una galassia ellittica, poiché non risulta possibile trovare un fit ottimale per tutta la curva, utilizzando solamente la legge empirica di de Vaucouleurs, ma sono necessarie altre due leggi empiriche esponenziali, una per il bulge e una per il disco.

Troviamo valori di sigma relativamente alti nel nucleo della galassia.

Per concludere quindi, siamo indotti a pensare che NGC2768 sia una S0 o il risultato di un'interazione con un'altra galassia.

Doverosi ringraziamenti vanno:

All'università di Padova, che ci ha permesso di vivere questa bellissima esperienza, in particolar modo al professor Ciroi.

Ai professori responsabili del progetto per la provincia di Belluno, prof. Massimo Ottone e in particolare alla professoressa Margherita Carcò, che ci ha seguito durante l'intero stage e successivamente nella redazione dell'articolo e della presentazione.